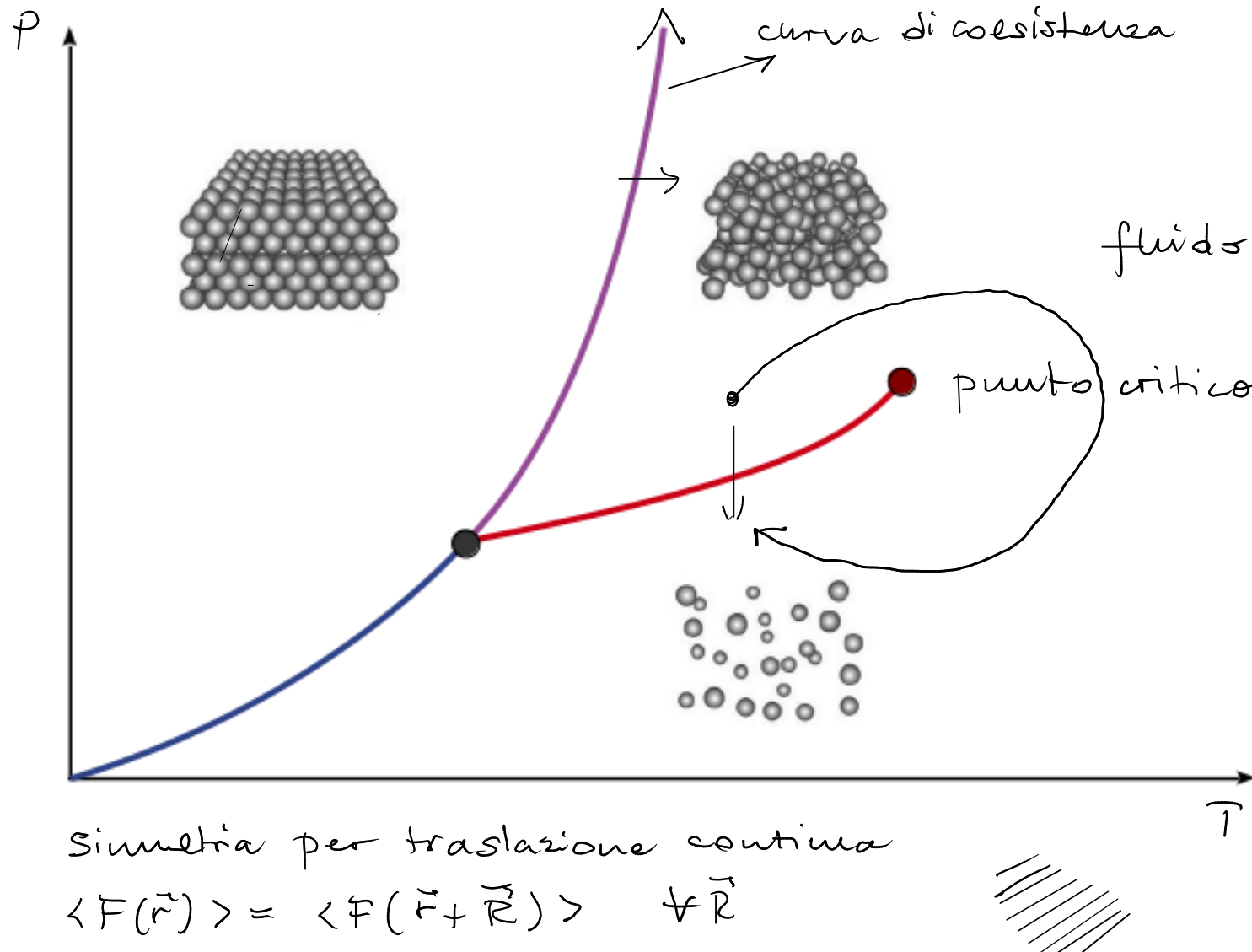


FORME DI DISORDINE

3cfdhpq

Diagramma di fase → E.S.: Argon.



Fase cristallina : simmetria trasl. discreta

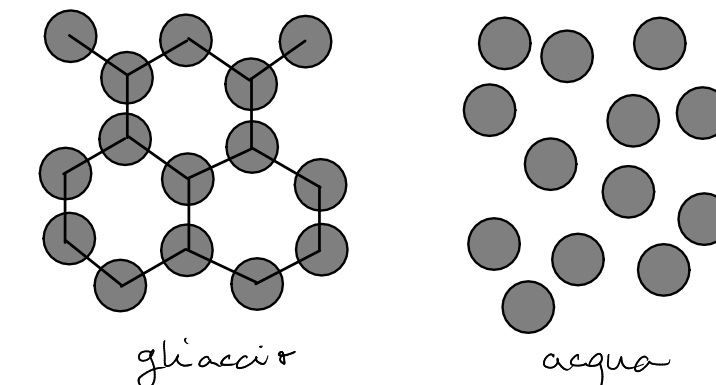
$$\vec{R}_e = l_1 \vec{a}_1 + l_2 \vec{a}_2 + l_3 \vec{a}_3$$

$$F(\vec{r} + \vec{R}_e) = \hat{F}(\vec{r}) \quad \forall \vec{R}_e$$

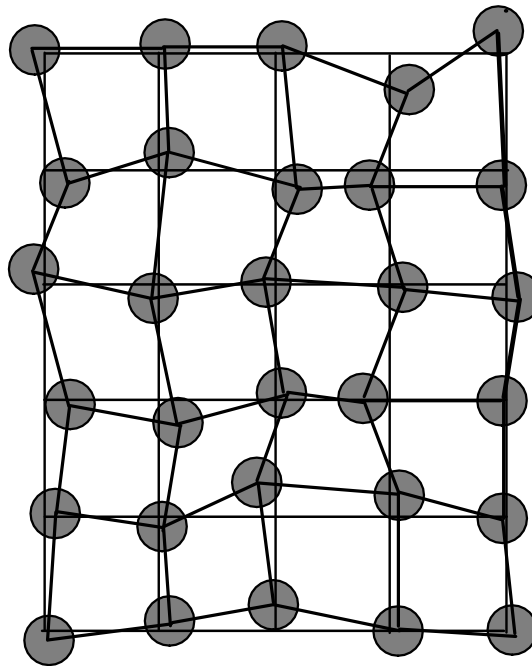
Fase liquido : no simmetria + traslazione discreta

Media d'ensemble $\langle \dots \rangle$

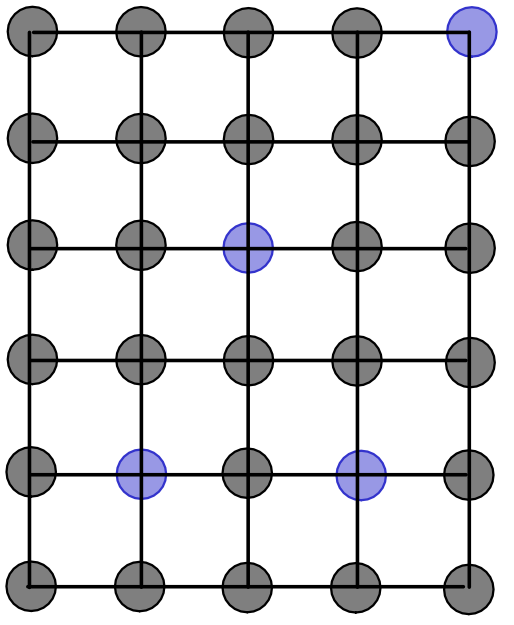
$$\langle F \rangle \cong \frac{\text{Tr} [e^{-\beta H} F]}{\text{Tr} [e^{-\beta H} g]} \rightarrow \text{media sul disordine}$$



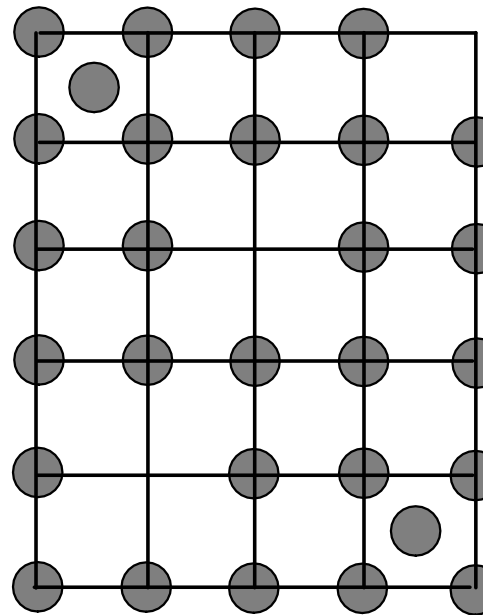
DISORDINE SOSTITUZIONALE



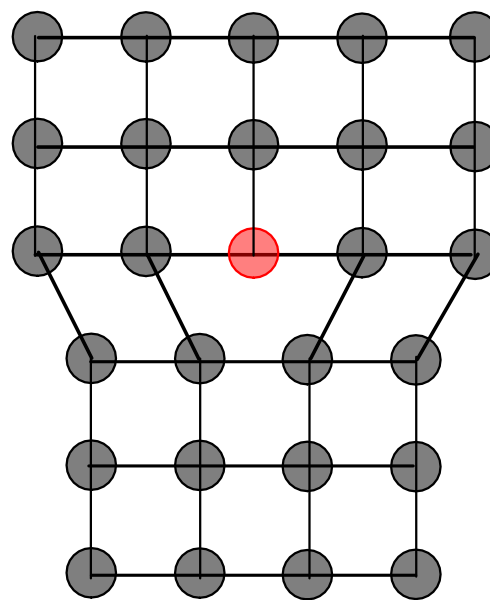
cristallo caldo
 $T > 0$



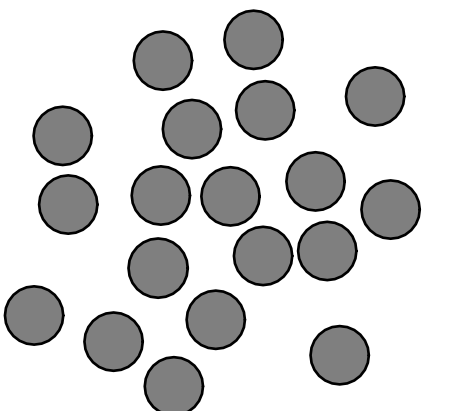
impurità A/B



difetti puntuali



dislocazione

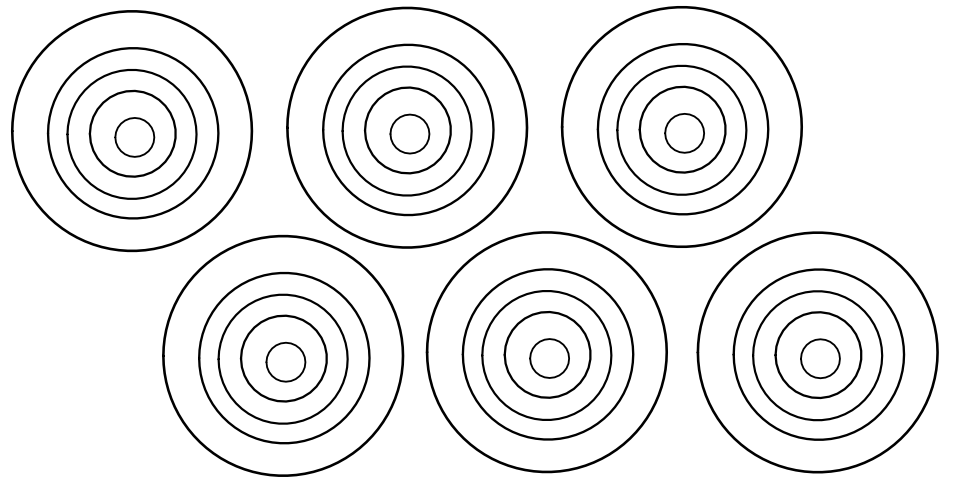


materiali amorfi

DISORDINE TOPOLOGICO

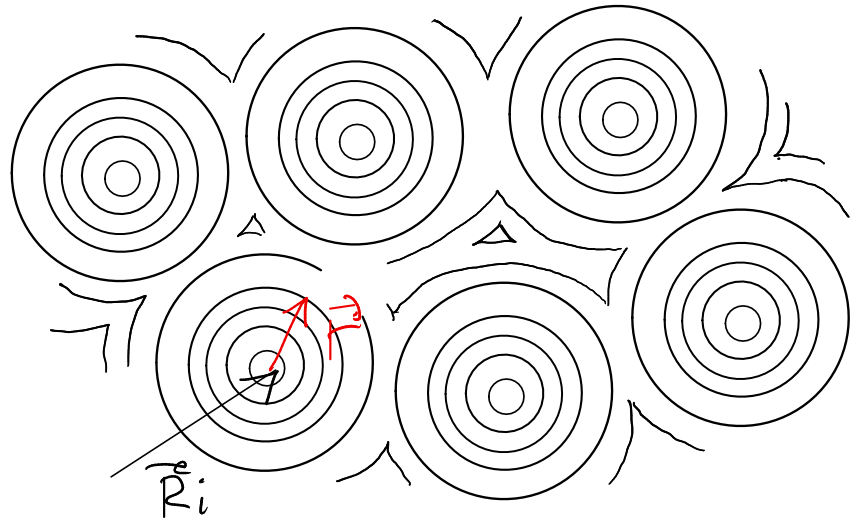
$F(\vec{r}) \rightarrow$ osservabile locale

[Ziman]



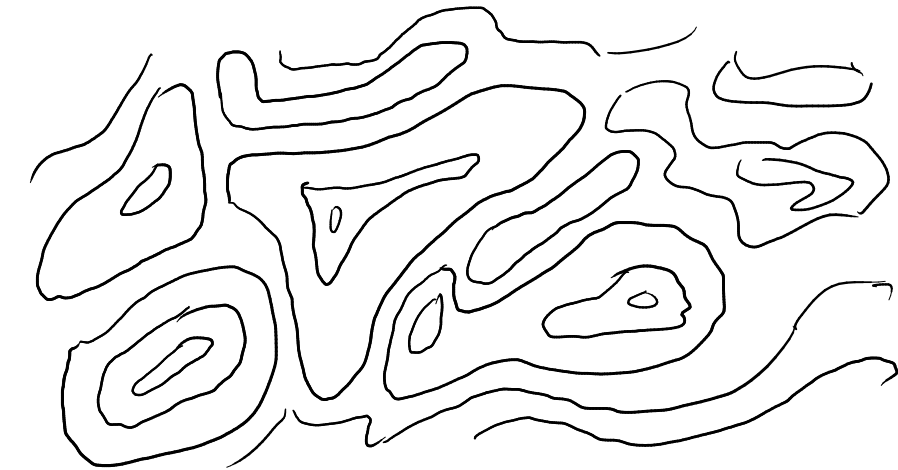
ordine cristallino

$$F(\vec{r} + \vec{R}_e) = F(\vec{r}) \quad \forall \vec{R}_e$$



disordine topologico

$$F(\vec{r} + \vec{R}_i) \approx F(\vec{r}) \quad \forall \vec{R}_i$$
$$|F| \lesssim r_c$$



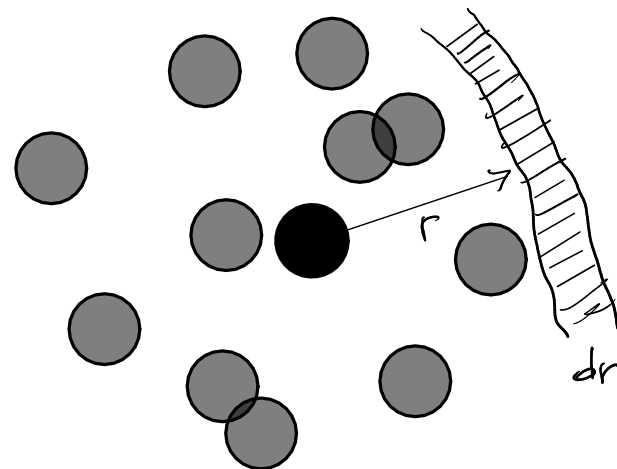
disordine continuo

- leggi di conservazione
- leggi costitutive

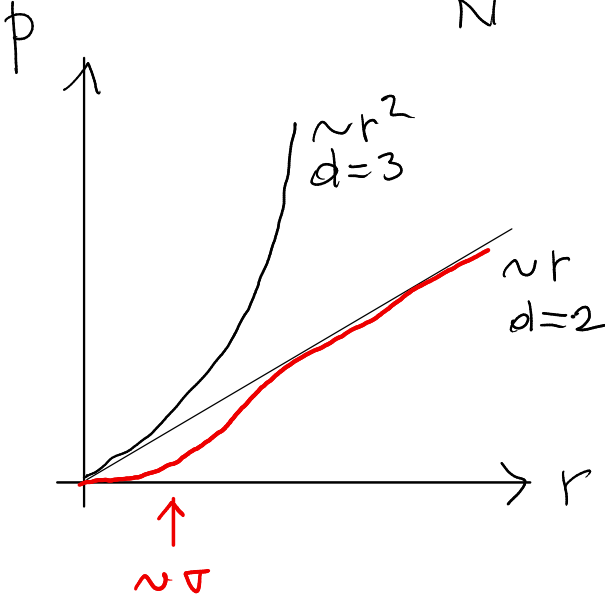
CORRELAZIONI

Ordine a corto raggio

Ese: gas, leghe



$$p(r) = \frac{N(r)}{N}$$



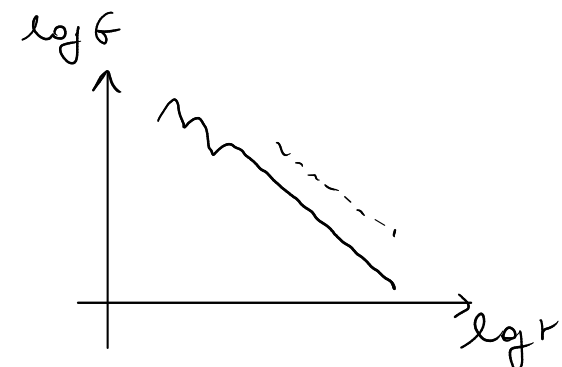
funzione di correlazione

$$G(\vec{r}', \vec{r}'')$$

Ordine a quasi-lungo raggio

Ese: solidi cristallini 2d

$$G(\vec{r}' | \vec{r}'') \sim r^{-\gamma} \quad \gamma > 0$$



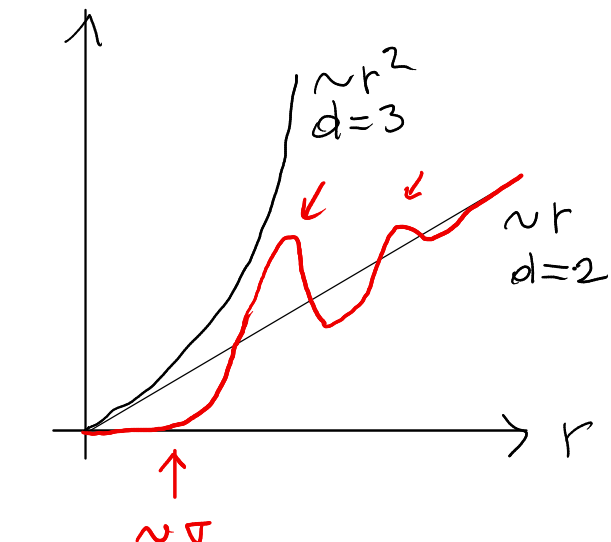
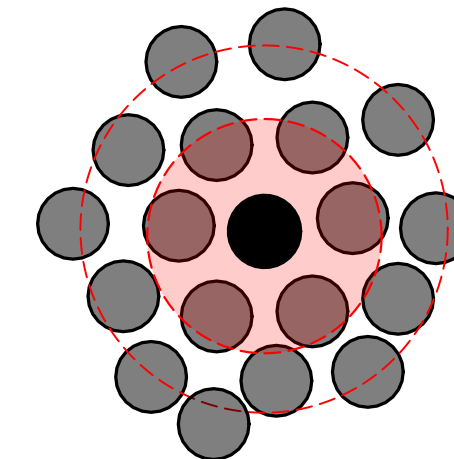
Ordine a lungo raggio

$$\left\{ \begin{array}{l} G(\vec{r}_{e1}, \vec{r}_{e''}) \rightarrow \text{cost} \\ |\vec{r}_{e1} - \vec{r}_{e''}| \rightarrow \infty \end{array} \right.$$

Ese: cristallo

Ordine a raggio intermedio

Ese: liquidi



$$G(\vec{r}' | \vec{r}'') \sim r^{-n} \exp(-r/\zeta) \quad n > 0$$

$$\vec{r}' = \vec{r}'' - \vec{r}'$$

$\zeta \rightarrow 0$ $T \rightarrow \infty$

$\zeta \rightarrow \infty$ $T \rightarrow T_c$

$\zeta = \text{lunghezza di correlazione}$

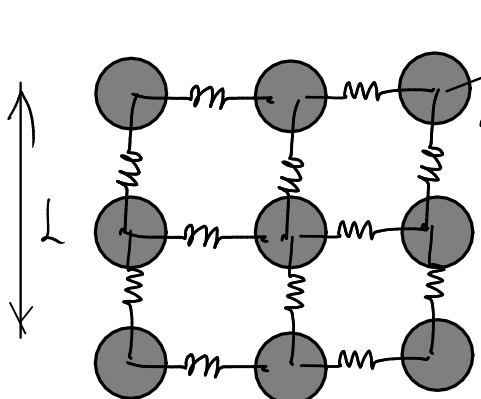
ORDINE E DIMENSIONALITÀ

'1930 : Peierls, Landau

'1960 : teor. Mermin - Wagner : sotto ipotesi abb. generali sulla natura delle intruzioni, non c'è ordine spontaneo a lungo raggio in $d=1$ e $d=2$

Esempi

1) Vibrazioni armatiche reticolari



$$|\Delta \vec{r}_i|^2 = |\vec{r}_i - \vec{r}_{i0}|^2$$

$$|\Delta \vec{r}|^2 = \frac{1}{N} \sum_{i=1}^N |\Delta \vec{r}_i|^2$$

spost. quadratico medio

$$\langle |\Delta \vec{r}|^2 \rangle \sim \int \frac{d^d k}{\omega^2} \sim \int \frac{k^{d-2}}{K} dk$$

$$\omega \approx ck \quad \sim \int k^{d-3} dk$$

$$\langle |\Delta \vec{r}|^2 \rangle \sim \ln L \quad d=2$$

2) spin 1d

J accoppiamento fra i vicini



$\Delta U = J$ costo energetico

$\Delta S = k_B \ln N$ guadagno entropico

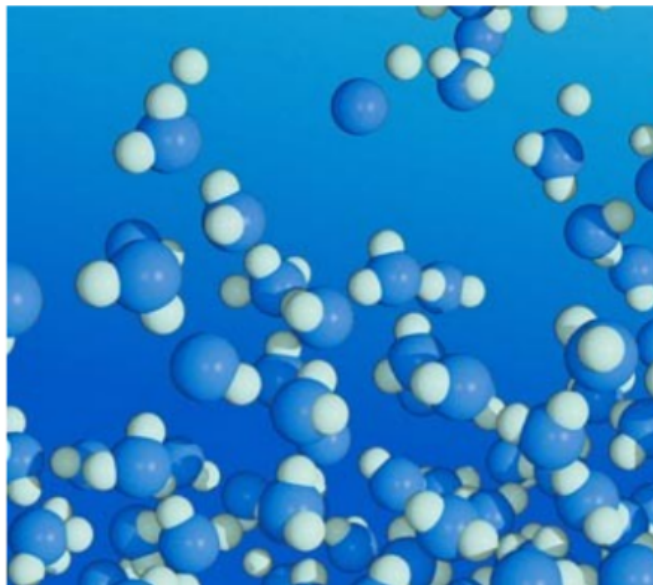
$$\Delta F = \Delta U - T \Delta S$$

$$= J - k_B T \ln N < 0$$

se $N \rightarrow \infty$

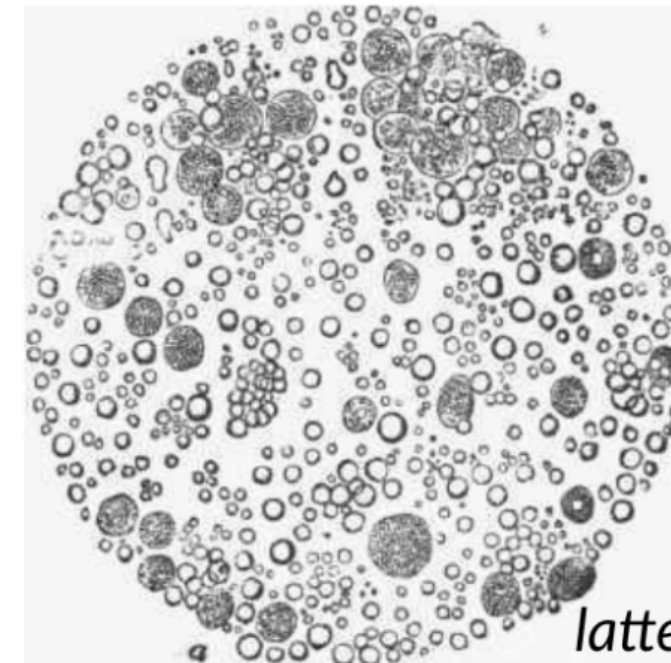
Scala atomica

$10^{-10} - 10^{-9}$



Scala mesoscopica

$10^{-7} - 10^{-5}$



Scala macroscopica

$10^{-2} - 10^0$

Lunghezza
[m]



constituenti elementari

→ proprietà macro



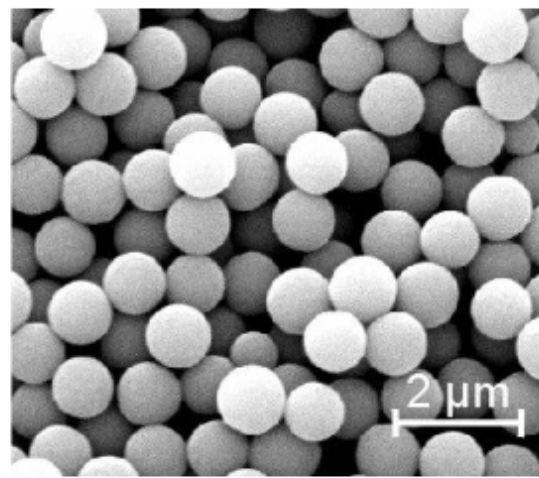
materia condensata DURA

colloidì, polimeri



materia condensata SOFFICE

PMMA

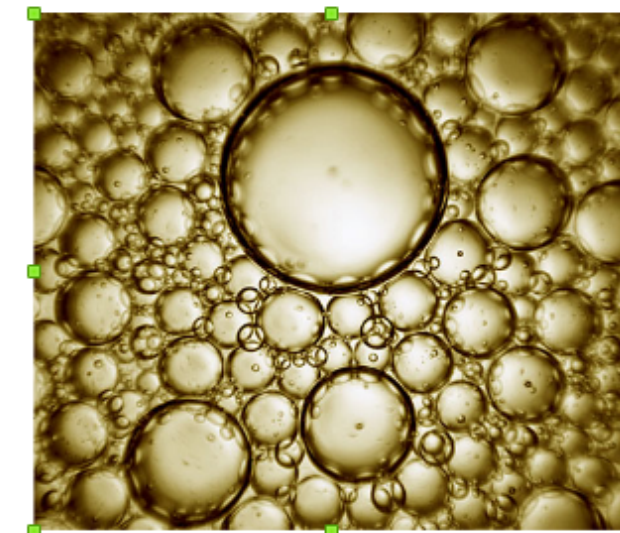


dispersione
colloidale

particelle solide



Mayo, yogurt

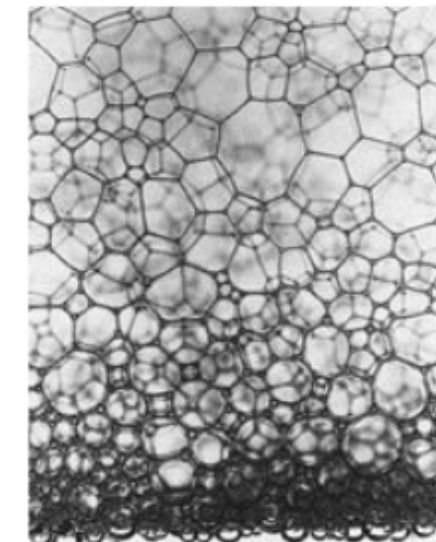


emulsioni

particelle liquide



sospese in un solvente



schiuma

particelle gassose

